

## ΑΝΑΚΟΙΝΩΣΙΣ ΜΗ ΜΕΛΟΥΣ

ΜΕΤΕΩΡΟΛΟΓΙΑ.— **Άκτινομετρικαὶ καὶ φωτομετρικαὶ παρατηρήσεις γενόμεναι κατὰ τὴν ἔκλειψιν τοῦ Ἡλίου τῆς 22ας Σεπτεμβρίου 1968** \*, ὑπὸ **Λεων. N. Καραπιπέρη**. **Άνεκοινώθη ὑπὸ τοῦ Ἀκαδημαϊκοῦ κ. Ἡλία Μαριολοπούλου.**

Κατὰ τὴν ὀλικὴν ἔκλειψιν τοῦ Ἡλίου τῆς 22ας Σεπτεμβρίου 1968, ἦτις ἐν Ἀθήναις ἦτο ὁρατὴ ὡς μερική, ἐγένοντο ὑπὸ τοῦ Μετεωρολογικοῦ Ἰνστιτούτου τοῦ Ἐθνικοῦ Ἀστεροσκοπείου Ἀθηνῶν παρατηρήσεις ἐπὶ τῆς μεταβολῆς τῆς ἀμέσου καὶ ὀλικῆς ἀκτινοβολίας, ὡς καὶ ἐπὶ τῆς φωτεινότητος τοῦ οὐρανοῦ, τὰ κύρια συμπεράσματα τῶν ὅποιων παρέχομεν εἰς τὴν παροῦσαν μελέτην.

Οἱ χρόνοι τῶν κυριωτέρων φάσεων τῆς ἐν λόγῳ ἔκλειψεως εἶχον ὡς ἀκολούθως: Ἀρχὴ τῆς ἔκλειψεως  $12^{\text{h}} 7^{\text{m}} 22,1^{\text{s}}$ , μεγίστη φάσις, καθ' ἥν ἔκαλύφθησαν τὰ  $0,39$  τῆς ἡλιακῆς διαμέτρου ἢ τὰ  $0,261$  περίπου τῆς ἐπιφανείας τοῦ ἡλιακοῦ δίσκου,  $13^{\text{h}} 12^{\text{m}} 43,7^{\text{s}}$ , πέρας τῆς ἔκλειψεως  $14^{\text{h}} 16^{\text{m}} 4,6^{\text{s}}$  (ἐπίσημος χρόνος ἀνατολικῆς Εὔρωπης).

Τὸ ὄψις τοῦ Ἡλίου εἰς τὴν ἀρχὴν τῆς ἔκλειψεως ἦτο  $52^{\circ} 19',1$ , κατὰ τὴν μεγίστην φάσιν  $50^{\circ} 50',6$ , κατὰ δὲ τὸ τέλος τοῦ φαινομένου  $44^{\circ} 29',5$ .

Διὰ τὰς μετρήσεις τῆς ἀμέσου ἡλιακῆς ἀκτινοβολίας ἐχρησιμοποιήθη τὸ ὑπὸ ἀριθ. 153 πυρηλιόμετρον Kipp-Zonen μετὰ τῶν ἡθμῶν OG1, RG2, RG8, Quartz, διὰ δὲ τὰς μετρήσεις τῆς ὀλικῆς ἀκτινοβολίας ἐπὶ ὀριζοντίου ἐπιφανείας ὁ ὑπὸ ἀριθ. 3604 ἀκτινογράφος Eppley. Τέλος, διὰ τὴν ἐκτίμησιν τῆς φωτεινότητος τοῦ οὐρανοῦ ἐχρησιμοποιήθη ἐν φωτόμετρον τύπου Bruno-Lange.

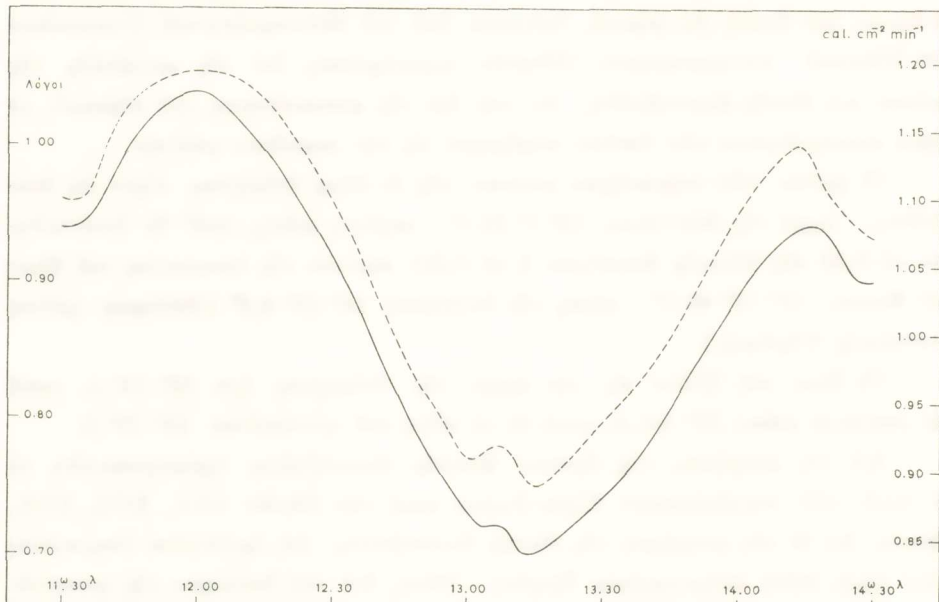
Εἰς τὰς ὡς ἀνω παρατηρήσεις ἔλαβον μέρος ὁ ἐπιμελητὴς τοῦ Μετεωρολογικοῦ Ἰνστιτούτου τοῦ Ἀστεροσκοπείου Ἀθηνῶν Γεώργ. Μακρῆς, οἱ βοηθοὶ Κίρκη Μαριολοπούλου, Ἰωάν. Ζαμπάκας, Γεώργ. Χρηστίδης καὶ Ἀναστασία Λιβανοῦ, ὡς καὶ οἱ βοηθοὶ τοῦ Ἐργαστηρίου Μετεωρολογίας Ἰωάν. Δικαιάκος καὶ Γεώργ. Καρδάς.

Ο οὐρανὸς κατὰ τὴν διάρκειαν τῆς ἔκλειψεως ἦτο σχεδὸν αἴθριος (νέφωσις  $0 \cdot 1$  ὑπὸ Cu, Fr Cu καὶ Ci), ὁ δὲ δίσκος τοῦ Ἡλίου ἦτο συνεχῶς ἐλεύθερος νεφῶν.

Ο ἄνεμος ἔπνεε ἐκ SSW διευθύνσεως (θαλασσία αὔρα), ἡ δὲ ἔντασις αὐτοῦ ἦτο ἀσθενής ἔως μετρία. Τέλος, ἡ ὁρατότης, τόσον πρὸς ἡράν ὅσον καὶ πρὸς θάλασσαν, ἦτο 6.

\* LEON. N. CARAPIPERIS, Actinometric and photometric observations made during the eclipse of the Sun, on the 22nd of September 1968.

Πλὴν τῆς ἡμέρας τῆς ἐκλείψεως, παρατηρήσεις τῶν ὡς ἀνω στοιχείων καὶ κατὰ τὰ αὐτὰ χρονικὰ διαστήματα ἐγένοντο καὶ κατὰ τὰς δύο προηγουμένας καὶ δύο ἐπομένας τῆς ἐκλείψεως ἡμέρας, πρὸς σύγκρισιν αὐτῶν μετὰ τῶν ἀντιστοίχων τοιούτων τῶν γενομένων κατὰ τὴν διάρκειαν τῆς ἐκλείψεως. Ἐκ τῶν ὡς ἀνω δύμως ἡμερῶν ἔλήφθησαν ὥπερ ὅψιν μόνον ἡ 20η καὶ 24η Σεπτεμβρίου 1968, κατὰ τὰς δύοιας ἐπεκράτει ἡ αὐτὴ περίπου καιρικὴ κατάστασις, κατὰ τὰ ἀντίστοιχα



Σχ. 1.

πρὸς τὰ τῆς ἡμέρας τῆς ἐκλείψεως χρονικὰ διαστήματα, ἐξαιρέσει τῶν ἀπὸ 13° 21' - 13° 27' καὶ ἀπὸ 14° 18' - 14° 30' διαστημάτων τῆς 24ης Σεπτεμβρίου, κατὰ τὰ δύοια δίσκοις τοῦ Ἡλίου ἐκαλύπτετο ὥπερ νεφῶν.

Τὰ ἀναγνώσματα τῶν διαφόρων ὁργάνων ἐλαμβάνοντο ἀπὸ τῆς 11° 30' μέχρι τῆς 12° 00' ἀνὰ 5 λεπτά, ἀπὸ δὲ τῆς 12° 00' μέχρι τῆς 14° 30' ἀνὰ 3 λεπτά.

Εἰς τὰ δημοσιευόμενα σχέδια, ἡ μὲν συνεχὴς γραμμὴ παριστᾶ τὴν μεταβολὴν τῶν τιμῶν τῶν διαφόρων στοιχείων κατὰ τὴν διάρκειαν τῆς ἐκλείψεως, ἡ δὲ διακεκομένη τὴν πορείαν τῶν λόγων τῶν τιμῶν τούτων πρὸς τὰς ἀντιστοιχους τοιαύτας τῶν δύο πρὸς σύγκρισιν ἡμερῶν.

**"Ἀμεσος ἡλιακὴ ἀκτινοβολία.** Εἰς τὸ Σχ. 1 δίδεται ἀφ' ἑνὸς μὲν ἡ πορεία τῆς ἀμέσου ἡλιακῆς ἀκτινοβολίας κατὰ τὴν διάρκειαν τῆς ἐκλείψεως καὶ ἀφ' ἑτέρου ἡ πορεία τῶν λόγων τῶν τιμῶν τῆς ἐν λόγῳ ἀκτινοβολίας πρὸς τὰς

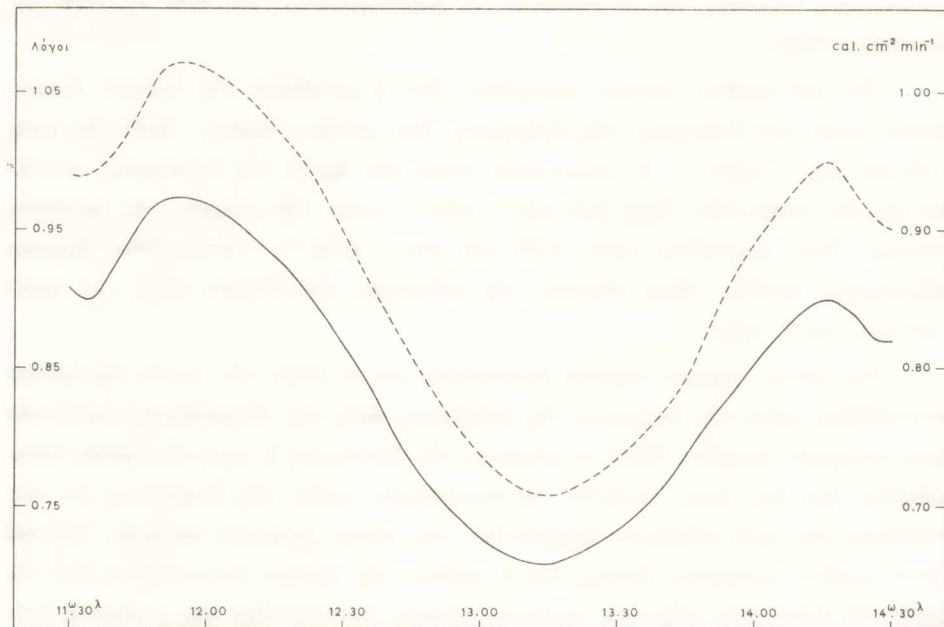
άντιστοίχους τοιαύτας, τὰς συναγομένας ἐκ παρατηρήσεων τῆς 20ῆς καὶ 24ῆς Σεπτεμβρίου 1968.

Ἐκ τοῦ σχεδίου τούτου συνάγεται, ὅτι ἡ μεταβολὴ τῆς ἀμέσου ἀκτινοβολίας κατὰ τὴν διάρκειαν τῆς ἐκλείψεως ἥτο μᾶλλον ὄμαλή. Ἀπὸ τῆς τιμῆς  $1,16 \text{ cal. cm}^{-2} \text{ min}^{-1}$ , ἢν παρουσίαζε κατὰ τὴν ἀρχὴν τῆς ἐκλείψεως, κατῆλθεν εἰς τὴν τιμὴν τῶν  $0,84 \text{ cal. cm}^{-2} \text{ min}^{-1}$  κατὰ τὴν στιγμὴν τῆς μεγίστης φάσεως, ἥτοι ἡλαττώθη κατὰ  $0,32 \text{ cal. cm}^{-2} \text{ min}^{-1}$ . Ἀκολούθως ἥρχισεν αὖξανομένη ὄμαλῶς μέχρι πέρατος τῆς ἐκλείψεως, ὅτε ἔλαβεν αὕτη τὴν τιμὴν  $1,08 \text{ cal. cm}^{-2} \text{ min}^{-1}$ .

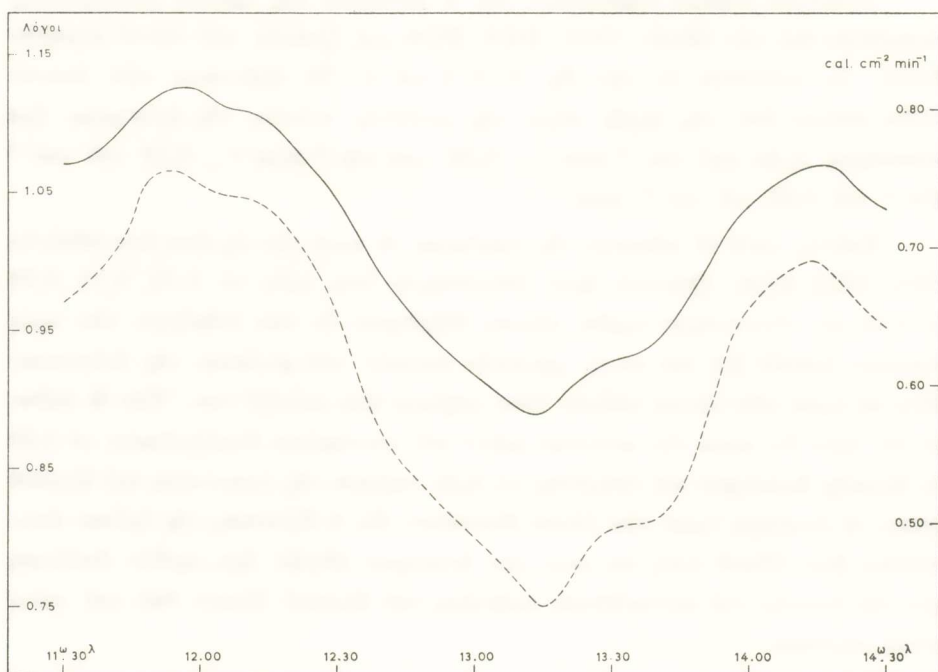
Τὴν αὐτὴν περίπου πορείαν ἀκολουθοῦν καὶ οἱ λόγοι τῶν τιμῶν τῆς ἀμέσου ἀκτινοβολίας κατὰ τὴν διάρκειαν τῆς ἐκλείψεως πρὸς τὰς ἀντιστοίχους τιμὰς τῶν πρὸς σύγκρισιν ἡμερῶν. Κατὰ τὸ μέγιστον τῆς ἐκλείψεως ἡ τιμὴ τῆς ἀμέσου ἀκτινοβολίας ἥτο ἵση πρὸς τὰ  $0,76$  τῆς ἀντιστοίχου τιμῆς, τῆς ἔξαχθείσης ἐκ τῶν ἐνδείξεων τῶν πρὸς σύγκρισιν ἡμερῶν διὰ τὴν αὐτὴν χρονικὴν στιγμήν. Ἐκ τοῦ αὐτοῦ σχεδίου συνάγεται, ἐπίσης, ὅτι ἡ πτῶσις τῆς ἀμέσου ἀκτινοβολίας ἀπὸ τῆς ἀρχῆς τῆς ἐκλείψεως μέχρι τῆς μεγίστης φάσεως ἥτο ταχυτέρα τῆς μετέπειτα ἀνόδου αὐτῆς.

Ἀνάλογον πορείαν παρουσιάζει καὶ ἡ μεταβολὴ τῆς ἀμέσου ἀκτινοβολίας, ἡ ληφθεῖσα διὰ τῶν ἡθμῶν OG1, RG2, RG8 καὶ Quartz τοῦ αὐτοῦ πυρηλιομέτρου, ὡς συνάγεται ἐκ τῶν Σχ. 2, 3, 4 καὶ 5. Ἡ ἐλάττωσις τῶν ἀκτινοβολιῶν τούτων ἀπὸ τῆς ἀρχῆς μέχρι τῆς μεγίστης φάσεως τῆς ἐκλείψεως ἥτο ἀντιστοίχως  $0,24 \text{ cal. cm}^{-2} \text{ min}^{-1}$ ,  $0,22 \text{ cal. cm}^{-2} \text{ min}^{-1}$ ,  $0,19 \text{ cal. cm}^{-2} \text{ min}^{-1}$  καὶ  $0,30 \text{ cal. cm}^{-2} \text{ min}^{-1}$ .

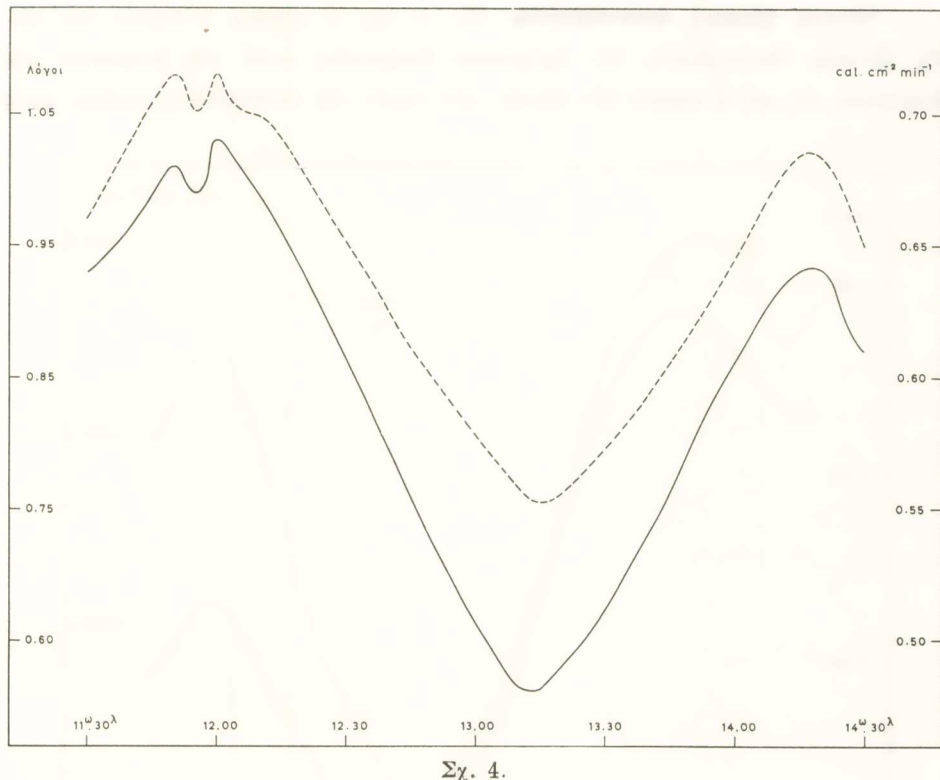
Ἐπίσης, κατὰ τὸ μέγιστον τῆς ἐκλείψεως αἱ τιμαὶ τῶν ὧς ἀνω ἀκτινοβολιῶν (OG1, RG2, RG8, Quartz) ἥσαν ἀντιστοίχως ἵσαι πρὸς τὰ  $0,76$ ,  $0,76$ ,  $0,75$  καὶ  $0,72$  τῶν ἀντιστοίχων τιμῶν, αἵτινες ἔξήχθησαν ἐκ τῶν ἐνδείξεων τῶν πρὸς σύγκρισιν ἡμερῶν διὰ τὴν αὐτὴν χρονικὴν στιγμὴν τοῦ μεγίστου τῆς ἐκλείψεως. Ἡτοι αἱ τιμαὶ τῶν λόγων τούτων ἥσαν περίπου ἵσαι μεταξύ των. Ἐὰν δὲ λάβωμεν ὑπὸ δόψιν ὅτι κατὰ τὴν μεγίστην φάσιν τοῦ φαινομένου ἐκαλύφθησαν τὰ  $0,39$  τῆς ἡλιακῆς διαμέτρου καὶ ἐπομένως τὰ  $0,26$  περίπου τῆς ἐπιφανείας τοῦ ἡλιακοῦ δίσκου, αἱ ἀνωτέρω τιμαὶ τῶν λόγων δεικνύουν, ὅτι ἡ ἐλάττωσις τῆς ἀμέσου ἀκτινοβολίας ἀνευ ἡθμοῦ τινὸς καὶ μετὰ τῶν διαφόρων ἡθμῶν ἥτο σχεδὸν ἀνάλογος πρὸς τὴν ἔκτασιν τοῦ καλυφθέντος τμήματος τοῦ ἡλιακοῦ δίσκου ὑπὸ τοῦ σεληνιακοῦ τοιούτου.



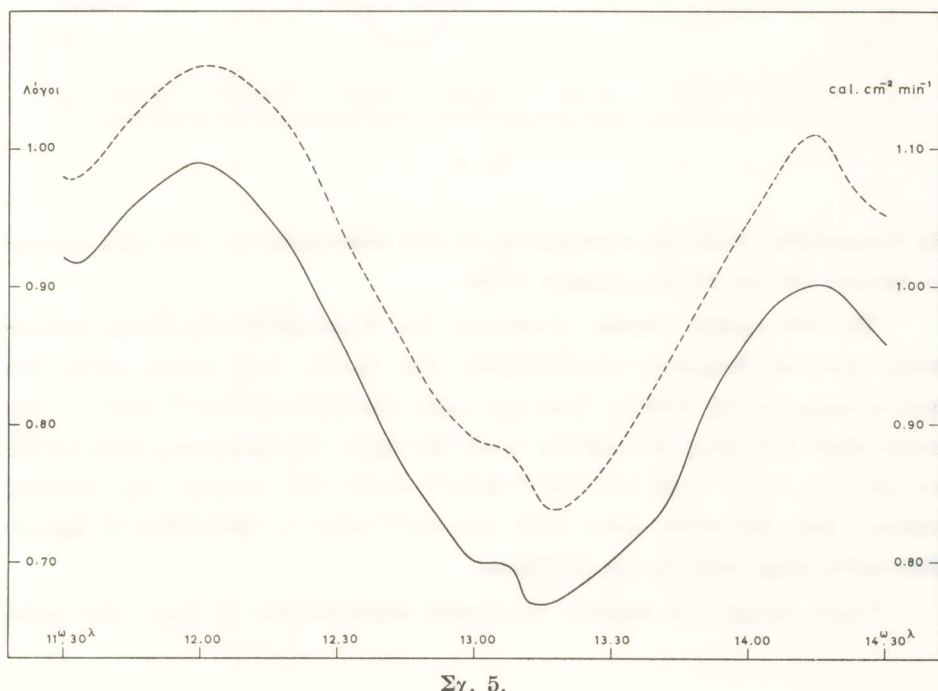
Σχ. 2.



Σχ. 3.

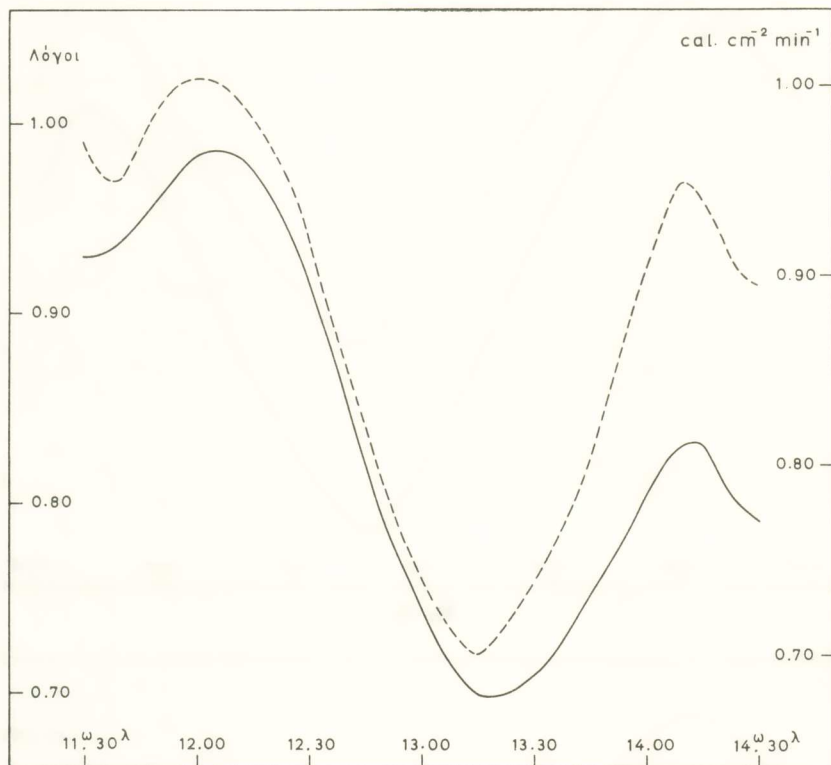


Σχ. 4.



Σχ. 5.

**Όλική ήλιακή άκτινοβολία.** Εἰς τὸ Σχ. 6 δίδεται ἡ πορεία τῆς ὀλικῆς ήλιακῆς άκτινοβολίας ἐπὶ δριζοντίου ἐπιφανείας κατὰ τὴν διάρκειαν τῆς ἐκλείψεως, ώς καὶ ἡ πορεία τῶν λόγων τιμῶν τῆς άκτινοβολίας ταύτης πρὸς



Σχ. 6.

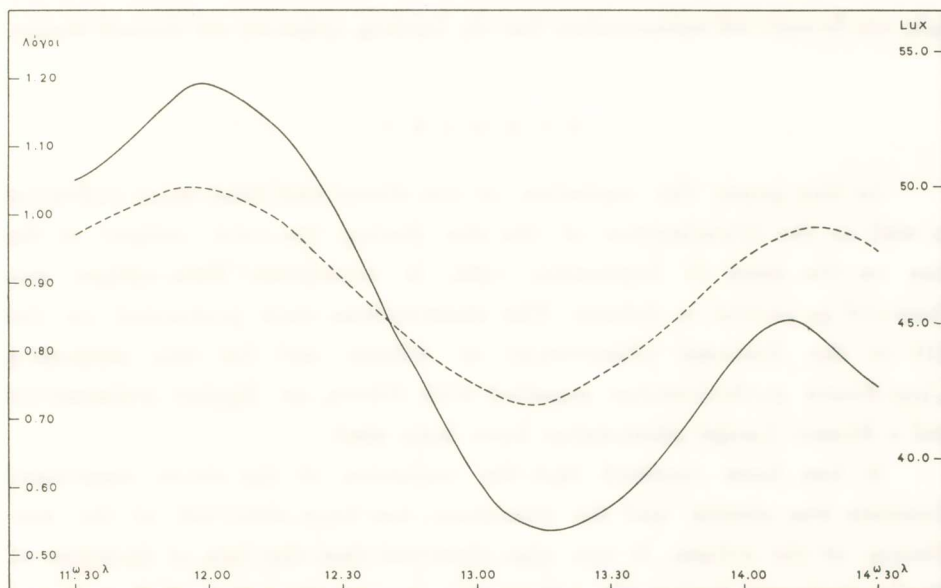
τὰς ἀντιστοίχους τιμὰς τὰς συναγομένας ἐκ τῶν παρατηρήσεων τῶν πρὸς σύγκρισιν ἡμερῶν (20 καὶ 24 Σεπτεμβρίου 1968).

<sup>3</sup>Ἐκ τοῦ σχεδίου τούτου συνάγεται, ὅτι ἡ μεταβολὴ τῆς ὀλικῆς άκτινοβολίας κατὰ τὴν διάρκειαν τῆς ἐκλείψεως ἥτο διμαλή, ἡ δὲ πτῶσις αὐτῆς ἥτο κατά τι ταχυτέρα τῆς ἀνόδου. <sup>4</sup>Απὸ τῆς τιμῆς τῶν  $0,96 \text{ cal. cm}^{-2} \text{ min}^{-1}$ , τὴν δόποιαν εἶχεν ἡ ἐν λόγῳ άκτινοβολίᾳ κατὰ τὴν ἀρχὴν τῆς ἐκλείψεως, αὕτη κατῆλθεν εἰς τὴν τιμὴν  $0,68 \text{ cal. cm}^{-2} \text{ min}^{-1}$  κατὰ τὴν στιγμὴν τῆς μεγίστης φάσεως, ἥτοι ἡλιαττώθη κατὰ  $0,28 \text{ cal. cm}^{-2} \text{ min}^{-1}$ , ἀκολούθως δὲ ἡρχισεν αὐξανομένη μέχρι πέρατος τῆς ἐκλείψεως.

<sup>5</sup>Οσον ἀφορᾷ τὴν πορείαν τὴν δόποιαν παρουσιάζουν οἱ λόγοι τῶν τιμῶν

τῆς δίλικης ἀκτινοβολίας κατὰ τὴν διάρκειαν τῆς ἐκλείψεως πρὸς τὰς ἀντιστοίχους τοιαύτας τῶν πρὸς σύγκρισιν ἡμερῶν, οὗτοι ἀκολουθοῦν ἀπλῆν πορείαν.

Κατὰ τὸ μέγιστον τῆς ἐκλείψεως ἡ τιμὴ τοῦ λόγου τούτου ἦτο ἵση πρὸς τὰ 0,72 τῆς ἀντιστοίχου τιμῆς, τῆς ἐξαχθείσης ἐκ τῶν παρατηρήσεων τῶν πρὸς σύγκρισιν ἡμερῶν διὰ τὴν αὐτὴν χρονικὴν στιγμήν, ἥτοι τῆς αὐτῆς περίπου τάξεως μὲ τὴν εὑρεθεῖσαν τοιαύτην εἰς τὴν μεταβολὴν τῆς ἀμέσου ἀκτινοβολίας. Ἐκ τῆς



Σχ. 7.

τιμῆς ταύτης συνάγεται ἔπισης, ὅτι καὶ ἡ ἐλάττωσις τῆς δίλικης ἀκτινοβολίας ἦτο περίπου ἀνάλογος πρὸς τὴν ἐκτασιν τοῦ καλυφθέντος ὑπὸ τῆς Σελήνης τμήματος τοῦ ἥλιακοῦ δίσκου.

**Φωτεινότης τοῦ οὐρανοῦ.** Εἰς τὸ Σχ. 7 δίδεται ἡ μεταβολὴ τῆς φωτεινότητος τοῦ οὐρανοῦ κατὰ τὴν διάρκειαν τῆς ἐκλείψεως, ὡς καὶ ἡ πορεία τῶν λόγων τῶν τιμῶν τῆς φωτεινότητος πρὸς τὰς ἀντιστοίχους τιμὰς ταύτης, τὰς συναγομένας ἐκ τῶν παρατηρήσεων τῶν πρὸς σύγκρισιν δύο ἡμερῶν.

Ἐκ τοῦ σχεδίου τούτου συνάγεται, ὅτι ἡ πορεία τῆς φωτεινότητος τοῦ οὐρανοῦ κατὰ τὴν διάρκειαν τῆς ἐκλείψεως ἦτο ἡ αὐτὴ περίπου μὲ τὴν πορείαν τῆς δίλικης ἀκτινοβολίας. Ἀπὸ τῆς τιμῆς 53,0 lux τὴν διοίαν εἶχεν ἡ φωτεινότης κατὰ τὴν ἀρχὴν τῆς ἐκλείψεως, ἔφθασε τὴν τιμὴν 37,3 lux κατὰ τὴν στιγμὴν τῆς μεγίστης φάσεως, ἥτοι ἐσημείωσε πτῶσιν 15,7 lux.

Όμαλήν ἐπίσης πορείαν παρουσιάζουν καὶ αἱ τιμαὶ τῶν λόγων τῆς φωτεινότητος τοῦ οὐρανοῦ κατὰ τὴν διάρκειαν τῆς ἐκλείψεως πρὸς τὰς ἀντιστοίχους τιμὰς ταύτης, τὰς συναγομένας ἐκ τῶν παρατηρήσεων τῶν δύο πρὸς σύγκρισιν ἡμερῶν.

Κατὰ τὸ μέγιστον τῆς ἐκλείψεως ἡ τιμὴ τοῦ ὡς ἀνώ λόγου ἦτο πρὸς 0,72, ἥτοι ἡ αὐτὴ μὲ τὴν ἀντίστοιχην τῆς διλικῆς ἀκτινοβολίας, ἐκ τῆς ὁποίας προκύπτει ὅτι καὶ ἡ μεταβολὴ τῆς φωτεινότητος τοῦ οὐρανοῦ ἦτο περίπου ἀνάλογος πρὸς τὴν ἔκτασιν τοῦ καλυπτομένου ὑπὸ τῆς Σελήνης τμήματος τοῦ ἡλιακοῦ δίσκου.

#### S U M M A R Y

In this paper the variation of the direct and total solar radiation as well as the illumination of the sky during the total eclipse of the Sun on the 22nd of September 1968, is examined. This eclipse was observed as partial in Athens. The observations were performed on the hill of the National Observatory of Athens and for this purpose a Kipp-Zonen pyrheliometer supplied with filters, an Eppley actinometer and a Bruno-Lange photometer have been used.

It has been resulted that the variation of the above mentioned elements was simple and the minimum has been observed at the maximum of the eclipse. It was also observed that the rate of decrease of all the elements during the eclipse was greater than that of the rate of increase. Finally the ratios of the various elements during the eclipse were compared to those of the 20th and 24th of September, which have been taken as reference days.

From the comparison it is also concluded that the decrease in solar radiation and illumination of the sky was proportional to the covered area of the solar disc.